

بِسْمِ اللّٰهِ الرَّحْمٰنِ الرَّحِيْمِ  
الْحٰمِدُ لِلّٰهِ الْعَظِيْمِ



دانشگاه سمنان

دانشکده مهندسی برق و کامپیوتر

رساله دکتری مهندسی برق گرایش قدرت

## حفظه دیفرانسیل هوشمند ترانسفورماتور قدرت با استفاده از تبدیل S

دانشجو:

علی اکبر عبدالوس

استاد راهنما:

دکتر زهرا مروج

استاد مشاور:

دکتر مجید صنایع پسند

بهمن ۱۳۹۱

# صور تجلیل و فاعیه رساله دکتری

دانشکده مهندسی برق و کامپیوتر

مشخصات دانشجو:

شماره دانشجویی: ۸۷۱۱۱۱۴۰۰۱

نام خانوادگی: عبدالوس

نام: علی اکبر

تاریخ دفاع: ۹۱/۱۱/۹

گرایش: قدرت

رشته: برق

عنوان پایان نامه: حفاظت دیفرانسیل هوشمند ترانسفورماتور قدرت با استفاده از تبدیل S

تعداد واحد: ۲۴ واحد  
نمره پایان نامه: ۱۹ / -  
به حروف: نوزدهم

درجه ارزشیابی:

امضاء: ۹۱/۱۱/۹

مرتبه دانشگاهی: دانشیار

نام و نام خانوادگی استاد راهنما: دکتر مروج

امضاء:

مرتبه دانشگاهی: استاد

نام و نام خانوادگی استاد مشاور: دکتر صنایع پسند

هیأت داوران:

امضاء: ۹۱/۱۱/۹

مرتبه دانشگاهی: دانشیار از دانشگاه: صنعت اب و برق

۱. نام و نام خانوادگی: دکتر خدروزاده

امضاء: بازیز

مرتبه دانشگاهی: استادیار

۲. نام و نام خانوادگی: دکتر بازیز

امضاء: بازیز

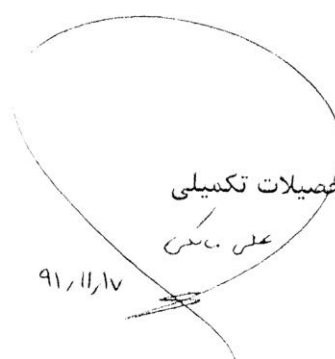
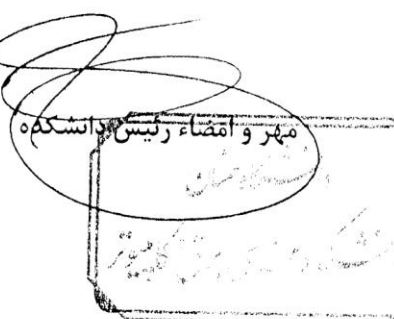
مرتبه دانشگاهی: استادیار

۳. نام و نام خانوادگی: دکتر جزاً از

امضاء: سمنان

مرتبه دانشگاهی: استادیار

۴. نام و نام خانوادگی: دکتر علی نژاد



بسمه تعالی



دانشگاه سمنان  
دانشکده مهندسی برق و کامپیوتر

اینجانب علی اکبر عبدالوس متعهد می‌شوم که محتوای علمی این نوشتار با عنوان حفاظت دیفرانسیل هوشمند ترانسفورماتور قدرت با استفاده از تبدیل S که به عنوان رساله دکتری رشته مهندسی برق گرایش قدرت به گروه مهندسی قدرت و کنترل دانشکده مهندسی برق و کامپیوتر دانشگاه سمنان ارائه شده، دارای اصالت پژوهشی بوده و حاصل فعالیتهای علمی اینجانب می‌باشد.

در صورتی که خلاف ادعای فوق در هر زمانی محرز شود، کلیه حقوق معنوی متعلق به این رساله از اینجانب سلب شده و موارد قانونی مترتب به آن نیز از طرف مراجع ذیربطر قابل پیگیری است.

نام و نام خانوادگی: علی اکبر عبدالوس  
شماره دانشجویی: ۸۷۱۱۱۱۴۰۰۱  
امضاء

تقدیم به پدر و مادر و برداران عزیزم  
حامد، عادل و هاتف

با تشکر از اساتید محترم دانشکده برق و کامپیوتر بالاخص  
استاد ارجمند سرکار خانم **دکتر مروج** و همچنین جناب  
**آقای پروفسور صنایع پسند** که همواره مرا از  
راهنماییهای عالمانه خود بهره‌مند ساختند.

## چکیده:

رله دیفرانسیل درصدی یکی از ابتدایی‌ترین طرحهای حفاظت ترانسفورماتورهای قدرت می‌باشد. رله‌های دیفرانسیل درصدی به خاطر عملکرد اشتباه در هنگام برقدار کردن ترانسفورماتورها و شرایط اضافه تحریک به واحد نگهدارنده هارمونیکی تجهیز شده‌اند. امروزه با پیشرفت در تکنولوژی ساخت هسته‌های جدید، مقدار هارمونیک مرتبه دوم در حین برقدار کردن ترانسفورماتورها تاحدی کاهش پیدا کرده است و همچنین هارمونیک دوم در شکل موج جریان خطای ظاهر می‌گردد. علاوه بر این اشباع ترانسفورماتور جریان در حین خطای داخلی هارمونیکهای مرتبه بالا تولید می‌کند. لذا روش نگهدارنده هارمونیکی ممکن است در برخی از شرایط خطای داخلی و جریان هجومی مغناطیس کننده عملکرد نادرستی داشته باشد. بنابراین در این تحقیق روش‌های جدیدی براساس تشخیص الگوهای جریان دیفرانسیل ارائه شده است. در مرحله اول توسط تبدیل  $S$  آنالیز سیگنال در حوزه زمان و فرکانس انجام می‌گیرد. از ماتریس خروجی تبدیل  $S$ ، شکل موجهای کانتور دامنه، کانتور فرکانس و کانتور ماتریس  $S$  به دست می‌آیند. پس از آن مجموعه‌ای از ویژگیها از کانتورهای به دست آمده استخراج می‌گردد. سپس زیر مجموعه‌ای از ویژگیهای برتر، براساس دقت الگوریتم ارائه شده تعیین می‌گردد. روش‌های انتخاب پیشرو، انتخاب پسرو و الگوریتم ژنتیک برای تعیین ویژگیهای برتر استفاده می‌شوند. دو طبقه‌بندی کننده معروف مانند ماشین بردار پشتیبان و شبکه عصبی احتمالی، به منظور تشخیص خطای و طبقه‌بندی واقعی به کار گرفته می‌شوند. به علاوه، دو معیار دیگر برای تشخیص خطای داخلی براساس ویژگیهای برتر به دست آمده ارائه شده است. الگوریتم‌های ارائه شده تقریباً تمامی خطاهای ترمینال واقع در ناحیه حفاظتی ترانسفورماتور را در حدود یک سیکل شناسایی می‌نماید. همچنین الگوریتم‌های ارائه شده در شرایط اضافه تحریک، خطای خارجی و برقدار کردن ترانسفورماتورها حتی در زمان اشباع ترانسفورماتورهای جریان پایدار می‌باشد. نتایج به دست آمده از سیگنالهای واقعی یک ثبت کننده خطای قابلیت اجرای این روش بر روی سیستمهای قدرت واقعی را تصدیق می‌نماید.

**کلید واژه:** ترانسفورماتورهای قدرت، اشباع ترانسفورماتور جریان، استخراج ویژگی، انتخاب ویژگی، طبقه‌بندی کننده، الگوشناسی.

## فهرست مطالب

عنوان.....صفحه

### فصل اول

#### انگیزه‌های تحقیق

۱	۱-۱ مقدمه
۳	۲-۱ نیاز به یک الگوریتم جدید
۵	۳-۱ اهداف تحقیق

### فصل دوم

#### مرواری بر روش‌های ارائه شده جهت حفاظت ترانسفورماتورهای قدرت

۷	۱-۲ روش‌های سنتی حفاظت ترانسفورماتورهای قدرت
۷	۱-۱-۲ حفاظت دیفرانسیل
۹	۱-۱-۱-۲ حفاظت دیفرانسیل با به کارگیری رله‌های اضافه جریان
۹	۱-۱-۱-۲-۱ حفاظت دیفرانسیل با به کارگیری رله‌های دیفرانسیل درصدی
۹	۱-۱-۱-۲-۲ حفاظت دیفرانسیل با به کارگیری رله دیفرانسیل درصدی با نگهدارنده
۱۱	۱-۱-۱-۲-۳ جریان هجومی و فوق تحریک
۱۱	۱-۱-۱-۲-۴ روش‌های نگهدارنده هارمونیکی
۱۳	۱-۱-۱-۲-۵ روش‌های بازدارنده هارمونیکی
۱۵	۲-۱-۲ بررسی عدم کارایی حفاظت دیفرانسیل درصدی مجهز به بایاس هارمونیکی
۲۳	۲-۲ روش‌های حفاظت ترانسفورماتورهای قدرت به وسیله تشخیص شکل موج
۲۳	۲-۲-۱ آنالیز در حوزه زمانی
۲۳	۲-۲-۱-۱ اندازه‌گیری بین دو پیک متوالی
۲۳	۲-۲-۱-۲ روش تشخیص جریان کم
۲۴	۲-۲-۲-۱ روش نگهدارنده DC
۲۵	۲-۲-۲-۲ آنالیز همبستگی

۲۶	۵-۱-۲-۲ بررسی عدم کارایی روش‌های مبتنی بر آنالیز زمان
۲۷	۲-۲-۲ آنالیز در حوزه فرکانسی
۲۸	۳-۲-۲ آنالیز در حوزه فرکانس زمانی
۲۸	۱-۳-۲-۲ روش تبدیل فوریه کوتاه مدت
۲۸	۲-۳-۲-۲ روش تبدیل موجک
۲۹	۳-۳-۲-۲ روش تبدیل S
۲۹	۴-۲-۲ ماشینهای یادگیری
۳۱	۵-۲-۲ روش‌های ترکیبی

### فصل سوم

#### شبیه‌سازی سیستم قدرت

۳۲	۱-۳ مدار معادل ترانسفورماتور قدرت
۳۴	۲-۳ خطاهای ترانسفورماتورهای قدرت
۳۵	۱-۲-۳ شبیه‌سازی خطای داخلی سیم پیچ ترانسفورماتور تکفاز
۳۶	۲-۲-۳ شبیه‌سازی خطای داخلی سیم پیچ اتوترانسفورماتور
۳۷	۳-۳ جریان هجومی مغناطیس کننده
۳۸	۴-۳ جریان هجومی اضافه تحریک
۳۹	۵-۳ ترانسفورماتور جریان
۴۱	۶-۳ سیستم قدرت شبیه‌سازی شده

### فصل چهارم

#### ابزارهای به کار گرفته شده جهت تشخیص شکل موج

۴۳	۱-۴ آنالیز فرکانس زمانی
۴۳	۱-۱-۴ تبدیل S
۴۴	۱-۱-۱-۴ به دست آوردن تبدیل S از تبدیل فوریه کوتاه مدت
۴۴	۲-۱-۱-۴ تبدیل S به عنوان کانولوشن
۴۵	۳-۱-۱-۴ به دست آوردن تبدیل S از تبدیل موجک
۴۵	۴-۱-۱-۴ تبدیل گسسته S

۴۷	۲-۱-۴ تبدیل بهبود یافته S
۵۰	۳-۱-۴ تبدیل هیپربولیکی S
۵۱	۲-۴ طبقه‌بندی کننده‌ها
۵۱	۱-۲-۴ شبکه‌های عصبی احتمالی
۵۴	۲-۲-۴ ماشینهای بردار پشتیبان
۵۵	۱-۲-۲-۴ طبقه‌بندی کننده خطی ماشین بردار پشتیبان
۵۶	۲-۲-۲-۴ طبقه‌بندی کننده غیرخطی ماشین بردار پشتیبان
۵۶	۳-۲-۲-۴ موارد جدانشدنی
۵۸	۴-۲-۲-۴ توابع کرنل
۵۸	۵-۲-۲-۴ طبقه‌بندی بیش از دو کلاس

## فصل پنجم

### الگوریتم‌های هوشمند ارائه شده

۱-۵	۱-۱-۵ تشخیص خطای داخلی از جریان هجومی با استفاده از تبدیل S و طبقه‌بندی کننده شبکه عصبی احتمالی
۶۰	
۶۲	۱-۱-۵ استخراج بردار ویژگی
۶۸	۲-۱-۵ بررسی جدایزیری ویژگیهای استخراج شده
۷۲	۳-۱-۵ نتایج به دست آمده
۷۴	۴-۱-۵ بررسی نتایج تحت شرایط نویزی
۷۶	۵-۱-۵ بررسی عملکرد روش ارائه شده برای انواع خطاهای جریانهای هجومی مغناطیس کننده
۷۸	۲-۵ طرح حفاظتی ترانسفورماتور قدرت با استفاده از روش ترکیبی استخراج ویژگی براساس تبدیل بهبود یافته S و انتخاب ویژگیهای برتر
۸۱	
۸۴	۱-۲-۵ روش‌های انتخاب ویژگی
۸۴	۱-۱-۲-۵ روش انتخاب ترتیبی پیشرو
۸۵	۲-۱-۲-۵ روش انتخاب ترتیبی پسرو
۸۶	۳-۱-۲-۵ الگوریتم ژنتیک
۸۷	۲-۲-۵ تحلیل نتایج

۱-۲-۵ مشاهدات به دست آمده از روش‌های انتخاب ویژگی به کار گرفته شده ...	۸۸
۲-۲-۵ مشاهدات به دست آمده از ویژگیهای استخراج شده .....	۸۸
۳- طرح حفاظتی ترانسفورماتور با استفاده از روش ترکیبی استخراج ویژگی براساس تبدیل هیپربولیک S و انتخاب ویژگیهای برتر .....	۹۴
۱-۳-۵ بررسی روند تغییرات ویژگیهای برتر انتخاب شده در رخدادهای مختلف .....	۹۷
۱-۳-۵ خطای ترمینال .....	۹۷
۲-۱-۳-۵ جریان هجومی مغناطیس کننده .....	۹۹
۳-۱-۳-۵ شرایط فوق تحریک .....	۱۰۱
۴-۱-۳-۵ خطای خارجی .....	۱۰۳
۵-۱-۳-۵ دیگر حالات ترکیبی .....	۱۰۴
۵-۲-۳-۵ ارزیابی نتایج .....	۱۰۵
۱-۲-۳-۵ خطای داخلی سیم پیچ به زمین .....	۱۰۵
۴- نتایج مقایسه‌ای با سایر روش‌های ارائه شده .....	۱۱۴
۱-۴-۵ مقایسه روش‌های ترکیبی ارائه شده مبتنی بر الگوشناسی با الگوریتمهای هوشمند...	۱۱۴
۲-۴-۵ مقایسه روش‌های ترکیبی ارائه شده مبتنی بر الگوشناسی با روش نگهدارنده درصدی با بایاس هارمونیکی .....	۱۱۴

## فصل ششم

### ارائه شاخص جهت حفاظت ترانسفورماتوهای قدرت

۶- شاخص ارائه شده جهت تشخیص خطای داخلی از جریان هجومی مغناطیس کننده .....	۱۱۷
۶-۱- آنالیز سیگنالهای جریان دیفرانسیل با استفاده از تبدیل S .....	۱۱۷
۶-۲- تعیین شاخص جهت تشخیص خطای داخلی از جریان هجومی مغناطیس کننده ..	۱۱۸
۶-۳- نتایج شبیه‌سازی .....	۱۲۲
۶- شاخص ارائه شده جهت تشخیص خطای داخلی از جریان هجومی مغناطیس کننده، فوق تحریک، خطای خارجی و شرایط نرمال .....	۱۲۴
۶-۲- آنالیز سیگنالهای جریان دیفرانسیل توسط تبدیل هیپربولیک S .....	۱۲۵
۶-۱-۲-۱- خطای داخلی .....	۱۲۵
۶-۲-۱-۲- جریان هجومی .....	۱۲۸

۱۳۰	۳-۱-۲-۶ شرایط فوق تحریک .....
۱۳۲	۴-۱-۲-۶ خطای خارجی .....
۱۳۳	۲-۲-۶ تعیین شاخص جهت تشخیص خطای داخلی از دیگر شرایط کاری ترانسفورماتور .....
۱۳۵	۳-۲-۶ تحلیل نتایج .....
۱۳۵	۱-۳-۲-۶ تعیین مقدار آستانه مناسب .....
۱۳۸	۲-۳-۲-۶ ارزیابی عملکرد شاخص ارائه شده در شرایط کاری مختلف .....
۱۴۳	۳-۲-۳-۶ نتایج به دست آمده برای بانک ترانسفورماتوری و اوتترانسفورماتور .....
۱۴۶	۴-۳-۲-۶ مقایسه شاخص ارائه شده با رله دیفرانسیل درصدی مجهز به بایاس هارمونیکی .....
۱۴۸	۵-۲-۳-۶ ارزیابی عملکرد شاخص ارائه شده توسط سیگنالهای واقعی ثبت شده .....

## فصل هفتم

### نتیجه گیری و پیشنهادات

۱۵۲	۱-۷ ارزیابی نتایج به دست آمده .....
۱۵۴	۲-۷ پیشنهادات .....

### مراجع .....

#### ضمیمه الف

##### مدلهای به کار گرفته شده

۱۶۳	الف-۱ مدل ترانسفورماتور .....
۱۶۳	الف-۱-۱ مدل کلاسیک .....
۱۶۵	الف-۱-۱-۱ نمایش تلفات سیم پیچ و هسته .....
۱۶۵	الف-۱-۱-۲ اشباع هسته .....
۱۶۸	الف-۱-۲ مدل مبتنی بر مدار معادل مغناطیسی یکپارچه .....
۱۶۸	الف-۱-۲-۱ روش مدلسازی .....
۱۷۱	الف-۱-۲-۲ مدل اوتترانسفورماتور .....
۱۷۳	الف-۱-۲-۳-۱ مدار معادل توالی مثبت اوتترانسفورماتور .....

الف-۱-۲-۲ مدار معادل توالی صفر ..... ۱۷۴	الف-۱-۲-۲-۱ مدار معادل توالی صفر ..... ۱۷۴
الف-۱-۲-۳ شبیه‌سازی اتوترانسفورماتور در نرم افزار PSCAD ..... ۱۷۴	الف-۱-۲-۳ شبیه‌سازی اتوترانسفورماتور در نرم افزار PSCAD ..... ۱۷۴
الف-۲ مدل ترانسفورماتور جریان ..... ۱۷۵	الف-۲ مدل ترانسفورماتور جریان ..... ۱۷۵
الف-۲-۱ مدل جیلز اسرتون ..... ۱۷۵	الف-۲-۱ مدل جیلز اسرتون ..... ۱۷۵
الف-۲-۲ تعیین پارامترهای مدل جیلز اسرتون ..... ۱۷۸	الف-۲-۲ تعیین پارامترهای مدل جیلز اسرتون ..... ۱۷۸

## ضمیمه ب

### داده‌های مورد نیاز جهت شبیه‌سازی سیستم قدرت

ب-۱ پارامترهای ترانسفورماتورهای قدرت ..... ۱۸۰	ب-۱ پارامترهای ترانسفورماتورهای قدرت ..... ۱۸۰
ب-۱-۱ ترانسفورماتور واحد (افزاینده) ..... ۱۸۰	ب-۱-۱ ترانسفورماتور واحد (افزاینده) ..... ۱۸۰
ب-۱-۲ ترانسفورماتورهای کاهنده ..... ۱۸۱	ب-۱-۲ ترانسفورماتورهای کاهنده ..... ۱۸۱
ب-۱-۲-۱ ترانسفورماتور دو سیم پیچه ..... ۱۸۱	ب-۱-۲-۱ ترانسفورماتور دو سیم پیچه ..... ۱۸۱
ب-۱-۲-۲ ترانسفورماتور سه سیم پیچه ..... ۱۸۱	ب-۱-۲-۲ ترانسفورماتور سه سیم پیچه ..... ۱۸۱
ب-۱-۳ اتوترانسفورماتور ..... ۱۸۲	ب-۱-۳ اتوترانسفورماتور ..... ۱۸۲
ب-۱-۴ بانکهای ترانسفورماتوری ..... ۱۸۲	ب-۱-۴ بانکهای ترانسفورماتوری ..... ۱۸۲
ب-۲ پارامترهای ترانسفورماتور جریان ..... ۱۸۲	ب-۲ پارامترهای ترانسفورماتور جریان ..... ۱۸۲
لیست مقالات منتشر شده ..... ۱۸۶	لیست مقالات منتشر شده ..... ۱۸۶

## فهرست جداول

### فصل پنجم

جدول ۵-۱: دقت طبقه‌بندی روش ترکیبی تبدیل S و شبکه عصبی احتمالی بدون وجود نویز ..... ۷۳
جدول ۵-۲: دقت طبقه‌بندی روش ترکیبی تبدیل S و شبکه عصبی احتمالی با وجود ۲۰ دسیبل نویز ..... ۷۵
جدول ۵-۳: دقت به دست آمده از روش تبدیل S و شبکه عصبی احتمالی برای انواع مختلف ترانسفورماتورهای قدرت ..... ۸۰
جدول ۵-۴: نتایج به دست آمده از روش انتخاب ویژگی ترتیبی پیشرو با به کارگیری طبقه‌بندی کننده شبکه عصبی احتمالی ..... ۸۵
جدول ۵-۵: نتایج به دست آمده از روش انتخاب ویژگی ترتیبی پیشرو با به کارگیری طبقه‌بندی کننده ماشین بردار پشتیبان ..... ۸۵
جدول ۵-۶: نتایج به دست آمده از روش انتخاب ویژگی ترتیبی پسرو با به کارگیری طبقه‌بندی کننده شبکه عصبی احتمالی ..... ۸۶
جدول ۵-۷: نتایج به دست آمده از روش انتخاب ویژگی ترتیبی پسرو با به کارگیری طبقه‌بندی کننده ماشین بردار پشتیبان ..... ۸۶
جدول ۵-۸: نتایج به دست آمده از روش الگوریتم ژنتیک با به کارگیری طبقه‌بندی کننده شبکه عصبی احتمالی و ماشین بردار پشتیبان ..... ۸۷
جدول ۵-۹: دقت به دست آمده از روش تبدیل بهبود یافته S و شبکه عصبی احتمالی برای انواع مختلف ترانسفورماتورها (بر حسب درصد) ..... ۹۴
جدول ۵-۱۰: نتایج به دست آمده حاصل از روش انتخاب ترتیبی پیشرو در الگوریتم ترکیبی تبدیل هیپربولیکی S و شبکه عصبی احتمالی ..... ۹۶
جدول ۵-۱۱: نتایج به دست آمده حاصل از روش انتخاب ترتیبی پسرو در الگوریتم ترکیبی تبدیل هیپربولیکی S و شبکه عصبی احتمالی ..... ۹۶
جدول ۵-۱۲: نتایج به دست آمده حاصل از روش انتخاب براساس الگوریتم ژنتیک ..... ۹۶
جدول ۵-۱۳: دقت به دست آمده از روش تبدیل هیپربولیکی S و شبکه عصبی احتمالی برای انواع مختلف بانکهای ترانسفورماتوری ..... ۱۰۶

جدول ۵-۱: دقت به دست آمده از روش تبدیل هیپربولیکی S و شبکه عصبی احتمالی برای اتوترانسفورماتور .....	۱۱۳
جدول ۵-۲: میزان دقت تشخیص خطای داخلی سیم پیچ به هسته برای مقاومتهای مختلف خطای .....	۱۱۳
جدول ۵-۳: مقایسه دقت طبقه‌بندی الگوریتمهای هوشمند ارائه شده با دیگر روش‌های مبتنی بر هوش مصنوعی .....	۱۱۴

## فصل ششم

جدول ۶-۱: شاخص محاسبه شده مبتنی بر تبدیل S برای بانکهای ترانسفورماتوری .....	۱۲۴
جدول ۶-۲: میزان حداقل و حدکثر مقدار شاخص محاسبه شده مبتنی بر تبدیل هیپربولیکی S برای بانکهای ترانسفورماتوری .....	۱۴۳
جدول ۶-۳: میزان حداقل و حدکثر مقدار شاخص ارائه شده مبتنی بر تبدیل هیپربولیکی S برای اتوترانسفورماتور .....	۱۴۴

## ضمیمه ب

جدول ب-۱: مشخصات ترانسفورماتور افزاینده .....	۱۸۰
جدول ب-۲: داده‌های مربوط به منحنی مغناطیس شوندگی هسته ترانسفورماتور افزاینده .....	۱۸۰
جدول ب-۳: مشخصات ترانسفورماتور دو سیم پیچه .....	۱۸۱
جدول ب-۴: داده‌های مربوط به منحنی مغناطیس شوندگی هسته ترانسفورماتور دو سیم پیچه .....	۱۸۱
جدول ب-۵: مشخصات ترانسفورماتور سه سیم پیچه .....	۱۸۱
جدول ب-۶: داده‌های مربوط به منحنی مغناطیس شوندگی هسته ترانسفورماتور سه سیم پیچه .....	۱۸۱
جدول ب-۷: مشخصات اتوترانسفورماتور .....	۱۸۲
جدول ب-۸: داده‌های مربوط به منحنی مغناطیس شوندگی هسته اتوترانسفورماتور .....	۱۸۲
جدول ب-۹: مشخصات بانکهای ترانسفورماتوری .....	۱۸۲
جدول ب-۱۰: پارامترهای مربوط به مشخصات هسته ترانسفورماتور جریان در مدل جیلزاسرتون .....	۱۸۳
جدول ب-۱۱: ترانسفورماتورهای جریان به کار گرفته شده در ترانسفورماتور افزاینده .....	۱۸۳
جدول ب-۱۲: ترانسفورماتورهای جریان ۱ و ۵ آمپری به کار گرفته شده در ترانسفورماتور دو سیم پیچه .....	۱۸۴
جدول ب-۱۳: ترانسفورماتورهای جریان به کار گرفته شده در ترانسفورماتور سه سیم پیچه .....	۱۸۴

جدول ب-۱۴: ترانسفورماتورهای جریان به کار گرفته شده در اتوترانسفورماتور	۱۸۴
جدول ب-۱۵: ترانسفورماتورهای جریان به کار گرفته شده در بانک ترانسفورماتوری ۳۱۵ مگاولت آمپری	۱۸۴
جدول ب-۱۶: ترانسفورماتورهای جریان به کار گرفته شده در بانک ترانسفورماتوری ۲۰۰ مگاولت آمپری	۱۸۵
جدول ب-۱۷: ترانسفورماتورهای جریان به کار گرفته شده در بانک ترانسفورماتوری ۱۶۰ مگاولت آمپری	۱۸۵

## فهرست اشکال

### فصل دوم

شکل ۲-۱: چگونگی اتصال رله دیفرانسیل برای ترانسفورماتور تکفاز	۸
شکل ۲-۲: تنظیمات مشخصه رله‌های دیفرانسیل درصدی [۵]	۱۱
شکل ۲-۳: منطق عملکرد هارمونیک دوم و پنجم یک رله دیفرانسیل [۵]	۱۳
شکل ۲-۴: نمونه‌ای از جریان خطای داخلی به همراه اشباع ترانسفورماتور جریان	۱۶
شکل ۲-۵: عملکرد رله دیفرانسیل درصدی در حین خطای داخلی	۱۶
شکل ۲-۶: نسبت هارمونیک دوم به مولفه اصلی در حین خطای داخلی با اشباع ترانسفورماتور جریان	۱۷
شکل ۲-۷: نمونه‌ای از جریان هجومی مغناطیس کننده	۱۷
شکل ۲-۸: عملکرد رله دیفرانسیل درصدی در حین برقدار شدن ترانسفورماتور	۱۸
شکل ۲-۹: نسبت هارمونیک دوم به مولفه اصلی در حین برقدار شدن ترانسفورماتور به همراه اشباع ترانسفورماتور جریان	۱۸
شکل ۲-۱۰: شبیه‌سازی جریان هجومی موافق	۲۰
شکل ۲-۱۱: نسبت هارمونیک دوم به مولفه اصلی برای جریان هجومی موافق	۲۰
شکل ۲-۱۲: مغناطیس شوندگی دو نوع هسته مربوط به ترانسفورماتور ۲۳۰/۶۳ کیلو ولت	۲۱
شکل ۲-۱۳: جریان هجومی مربوط به دو نوع هسته مختلف	۲۱
شکل ۲-۱۴: مولفه‌های موجود در شکل موج جریان هجومی با هسته نوع A	۲۲
شکل ۲-۱۵: مولفه‌های موجود در شکل موج جریان هجومی با هسته نوع B	۲۲
شکل ۲-۱۶: نسبت هارمونیک دوم به مولفه اصلی برای دو نوع هسته متفاوت	۲۲
شکل ۲-۱۷: چگونگی عملکرد بازدارندگی رله دیفرانسیل بر مبنای تشخیص جریان کم [۵]	۲۴
شکل ۲-۱۸: دیاگرام منطقی برای روش نگهدارنده DC [۵]	۲۵
شکل ۲-۱۹: بررسی عملکرد روش مبتنی بر اندازه‌گیری دو پیک متوالی برای جریان خطای داخلی به همراه اشباع ترانسفورماتور جریان	۲۶
شکل ۲-۲۰: بررسی عملکرد روش مبتنی بر اندازه‌گیری جریان کم برای جریان هجومی به همراه اشباع ترانسفورماتور جریان	۲۶

## فصل سوم

..... ۳۲	شکل ۳-۱: مدار معادل ترانسفورماتور تکفار
..... ۳۳	شکل ۳-۲: مدل اشباع هسته ترانسفورماتور
..... ۳۷	شکل ۳-۳: مدل خطای داخلی اتوترانسفورماتور بر روی سیم پیچ سری
..... ۴۲	شکل ۳-۴: سیستم قدرت شبیه‌سازی شده

## فصل چهارم

..... ۴۷	شکل ۴-۱: مراحل محاسبه تبدیل S
..... ۴۸	شکل ۴-۲: تغییرات عرض پنجره گوسی برای یک فرکانس مشخص (۲۵ هرتز)
..... ۴۹	شکل ۴-۳: کانتور ماتریس به دست آمده از تبدیل بهبود یافته S
..... ۴۹	شکل ۴-۴: کانتور ماتریس به دست آمده از تبدیل استاندارد S
..... ۵۱	شکل ۴-۵: پنجره هیپربولیکی در فرکانس ۰/۵ (خط ممتد)، ۱ (خط نقطه) و ۲ هرتز (نقطه نقطه) برای ۱.۵ $\lambda_{HY}^F = 1/16$ و $\gamma_{HY}^B = 0.5$
..... ۵۳	شکل ۴-۶: ساختار شبکه عصبی احتمالی
..... ۵۵	شکل ۴-۷: ابر صفحه جدا کننده دو کلاس

## فصل پنجم

..... ۶۱	شکل ۵-۱: الگوریتم تشخیص و طبقه‌بندی خطا با استفاده از شبکه‌های عصبی احتمالی و تبدیل S
..... ۶۵	شکل ۵-۲: شکل موج جریان فاز A در حالت برقدار کردن ترانسفورماتور و شکل موجهای استخراج شده از تبدیل S
..... ۶۶	شکل ۵-۳: شکل موج جریان فاز A در حالت خطای ABCG بدون اشباع ترانسفورماتور جریان و شکل موجهای استخراج شده از تبدیل S
..... ۶۸	شکل ۵-۴: شکل موج جریان فاز A در حالت خطای ABCG با درنظر گرفتن اشباع شدید ترانسفورماتور جریان و شکل موجهای استخراج شده از تبدیل S
..... ۶۹	شکل ۵-۵: نمایش هیستوگرام ویژگی ۱
..... ۶۹	شکل ۵-۶: نمایش هیستوگرام ویژگی ۲
..... ۷۰	شکل ۵-۷: نمایش هیستوگرام ویژگی ۳

۷۰	..... شکل ۸-۵: نمایش هیستوگرام ویژگی ۴
۷۰	..... شکل ۹-۵: نمایش هیستوگرام ویژگی ۵
۷۱	..... شکل ۱۰-۵: نمایش ویژگی ۱ در مقابل ویژگی ۲
۷۱	..... شکل ۱۱-۵: نمایش ویژگی ۲ در مقابل ویژگی ۳
۷۲	..... شکل ۱۲-۵: نمایش ویژگی ۳ در مقابل ویژگی ۴
۷۲	..... شکل ۱۳-۵: نمایش ویژگی ۴ در مقابل ویژگی ۵
۷۷	..... شکل ۱۴-۵: جریانهای دیفرانسیل سه فاز هجومی به همراه سیگنال خروجی طبقه‌بندی کننده اول به عنوان تشخیص دهنده خطا
۷۷	..... شکل ۱۵-۵: جریانهای دیفرانسیل سه فاز خطای AG به همراه سیگنال خروجی طبقه‌بندی کننده اول به عنوان تشخیص دهنده خطا
۷۷	..... شکل ۱۶-۵: جریانهای دیفرانسیل سه فاز خطای ABG به همراه سیگنال خروجی طبقه‌بندی کننده اول به عنوان تشخیص دهنده خطا
۷۸	..... شکل ۱۷-۵: جریانهای دیفرانسیل سه فاز خطای AB به همراه سیگنال خروجی طبقه‌بندی کننده اول به عنوان تشخیص دهنده خطا
۷۸	..... شکل ۱۸-۵: جریانهای دیفرانسیل سه فاز خطای ABCG به همراه سیگنال خروجی طبقه‌بندی کننده اول به عنوان تشخیص دهنده خطا
۷۸	..... شکل ۱۹-۵: جریانهای دیفرانسیل سه فاز خطای ABCG با اشباع شدید ترانسفورماتور جریان به همراه سیگنال خروجی طبقه‌بندی کننده اول به عنوان تشخیص دهنده خطا
۷۹	..... شکل ۲۰-۵: جریانهای دیفرانسیل سه فاز هجومی به همراه سیگنال خروجی طبقه‌بندی کننده اول به عنوان تشخیص دهنده خطا با وجود نویز
۷۹	..... شکل ۲۱-۵: جریانهای دیفرانسیل سه فاز خطای AG به همراه سیگنال خروجی طبقه‌بندی کننده اول به عنوان تشخیص دهنده خطا با وجود نویز
۸۳	..... شکل ۲۲-۵: طرح حفاظتی ارائه شده با استفاده از طبقه‌بندی ویژگیهای برتر
۹۰	..... شکل ۲۳-۵: نمایش ویژگی ۱ در برابر ۴
۹۰	..... شکل ۲۴-۵: نمایش ویژگی ۱ در برابر ۱۷
۹۰	..... شکل ۲۵-۵: نمایش ویژگی ۴ در برابر ۱۷
۹۱	..... شکل ۲۶-۵: جریانهای سه فاز مربوط به برقدار شدن ترانسفورماتور به همراه سیگنال فرمان قطع الگوریتم مبتنی، بر تبدیل بهبود یافته S

شكل ۵-۲۷: جریانهای سه فاز مربوط به شرایط اضافه تحریک به همراه سیگنال فرمان قطع الگوریتم مبتنی بر تبدیل بهبود یافته S	۹۱
شكل ۵-۲۸: جریانهای سه فاز مربوط به خطای خارجی سه فاز به زمین ABCG با وجود اشباع ترانسفورماتور جریان به همراه سیگنال فرمان قطع الگوریتم مبتنی بر تبدیل بهبود یافته S	۹۲
شكل ۵-۲۹: جریانهای سه فاز مربوط به خطای داخلی تکفاز AG به زمین به همراه سیگنال فرمان قطع الگوریتم مبتنی بر تبدیل بهبود یافته S	۹۲
شكل ۵-۳۰: جریانهای سه فاز مربوط به خطای خارجی دو فاز AB با وجود اشباع ترانسفورماتور جریان به همراه سیگنال فرمان قطع الگوریتم مبتنی بر تبدیل بهبود یافته S	۹۳
شكل ۵-۳۱: جریانهای سه فاز مربوط به خطای داخلی سه فاز به زمین ABCG با وجود اشباع ترانسفورماتور جریان به همراه سیگنال فرمان قطع الگوریتم مبتنی بر تبدیل بهبود یافته S	۹۳
شكل ۵-۳۲: خطای دو فاز به زمین ABG به همراه ویژگیهای برتر انتخاب شده	۹۹
شكل ۵-۳۳: جریان هجومی مغناطیس کننده به همراه ویژگیهای برتر انتخاب شده	۱۰۱
شكل ۵-۳۴: جریان فوق تحریک ناشی از افزایش ولتاژ به همراه ویژگیهای برتر انتخاب شده	۱۰۲
شكل ۵-۳۵: جریان خطای خارجی به همراه ویژگیهای برتر انتخاب شده	۱۰۴
شكل ۵-۳۶: جریان خطای داخلی بعد از برقدار کردن ترانسفورماتور تحت بار به همراه سیگنال قطع روش ترکیبی تبدیل هیپربولیکی S و شبکه عصبی احتمالی	۱۰۵
شكل ۵-۳۷: تغییرات جریان خطا نسبت به موقعیت خطا در سمت سیم پیچ ثانویه برای اتصالات مختلف بانک ترانسفورماتوری ۳۱۵ مگاوات آمپری	۱۰۸
شكل ۵-۳۸: جریان گذرنده از رله اضافه جریان در حفاظت خطای زمین محدود شده برای خطاهای داخلی سیم پیچ سمت اولیه (ستاره) به زمین با وجود مقاومت خطای یک اهم	۱۰۹
شكل ۵-۳۹: جریان گذرنده از رله اضافه جریان در حفاظت خطای زمین محدود شده برای خطاهای داخلی سیم پیچ سمت ثانویه (مثلث) به زمین با وجود مقاومت خطای یک اهم	۱۰۹
شكل ۵-۴۰: جریان خطای داخلی سیم پیچ سری به زمین در اتوترانسفورماتور به همراه جریان دیفرانسیل متناظر	۱۱۰
شكل ۵-۴۱: جریان عبوری از رله خطای زمین محدود شده در هنگام رخداد خطای داخلی سیم پیچ سری به زمین در اتوترانسفورماتور	۱۱۰
شكل ۵-۴۲: جریان خطای داخلی سیم پیچ مشترک به زمین در اتوترانسفورماتور به همراه جریان دیفرانسیل متناظر	۱۱۱